

بررسی ارتباط بین عامل کنتراست و شدت روش‌نایی تصاویر رزنانس مغناطیسی (MRI) در میدانهای مغناطیسی قوی

دکتر داریوش شهبازی گهره‌وی*

چکیده:

اگر چه Gd-DTPA (Gadolinium-Diethylene Triamine Pentacetic Acid) به عنوان یک عامل کنتراست در تصویر گیری به روش رزنانس مغناطیسی (MRI) شناخته شده است، ولیکن افزایش اثر کنتراست آن برای غلظتهاز زیاد یکنواخت نیست. برای بهینه انتخاب کردن پارامترهای مناسب برای این عامل کنتراست، آزمایشات MRI بمر روى نمونه‌های خون، سلولهای سرطان پوست (Melanoma cell line)، کلرايد سدیم با غلظتهاز مختلف Gd-DTPA و محلولهای Gd-DTPA تحت شرایط بهبودی معکوس (inversion recovery) و در میدانهای مغناطیسی قوی (۷ تسلای انجام شد. برای غلظتهاز مختلف محلولهای Gd-DTPA، شدت سیگنال به طور خطی وابسته به غلظت Gd-DTPA بین ۴-۵ میلی مولار (mM) می‌باشد. برای نمونه‌های خونی و سلولهای سرطان پوست ارتباط خطی قابل قبولی مشاهده نشد و بیشترین شدت سیگنال مربوط به غلظتهاز تا ۱ میلی مولار و ۱/۵ میلی مولار به ترتیب در خون و سلولهای سرطان پوست مشاهده شده است. در غلظتهاز بیشتر از این دو مقدار، شدت سیگنال با افزایش غلظت Gd-DTPA کاهش یافت.

واژه‌های کلیدی: MRI، عامل کنتراست، شدت سیگنال، سلولهای سرطان پوست.

مقدمه:

اسپین-اسپین (T_1) و اسپین-شبکه (T_2) شده و نهایتاً تغییرات اساسی بر روی شدت تصاویر ایجاد می‌کند (۲۶). اگر چه Gd-DTPA باعث افزایش کیفیت تصاویر می‌شود ولی با این حال با افزایش غلظت آن از حد معینی، باعث کم شدن کیفیت تصویر و یا شدت سیگنال خواهد شد (۲۵، ۲۲، ۱۷، ۴). بنابراین یکی از عوامل مهم در تصاویر Magnetic Resonance Imaging (MRI) انتخاب غلظتهاز معینی از Gd-DTPA می‌باشد که نقش اساسی را در کیفیت تصاویر ایفا می‌کند. همچنین باید یادآوری کرد که شدت سیگنال، تابع قدرت میدان

تصاویر رزنانس مغناطیسی در علم تشخیص پزشکی قابلیتهایی را داردند که دیگر روش‌های تصویر گیری از آن بی بهره می‌باشند. اما به هر حال کیفیت تصاویر حاصل از این روش و اطلاعات حاصل از آن بستگی به انتخاب پارامترهای دستگاه مورد نظر دارد. لذا قبل از انجام آزمایشات توسط دستگاه، انتخاب یک سری فاکتورهای اساسی دستگاه در موفقیت و یا عدم موفقیت مطالعات بسیار مؤثر می‌باشد (۱۲).

Gd-DTPA به عنوان یک عامل کنتراست در این روش باعث کاهش زمانهای آسایش (relaxation times)

* استاد بارگروه فیزیک پزشکی - دانشگاه علوم پزشکی شهرکرد

مطالعه استفاده شده است. پنج نوع نمونه مختلف مورد بررسی قرار گرفت:

(الف) Gd-DTPA (Sigma, Aldrich, USA) در آب مقطر حل شده و غلظتها متفاوتی بین $1/4$ ٪ تا ۶ میلی مolar تهیه شد، حجم هر کدام از محلولها حدود ۱ میلی مolar (NMR) بوده و در لوله های آزمایش مخصوص (NMR) جهت انجام آزمایشات قرار داده شد.

(ب) یک فانتوم که شامل هفت لوله NMR با غلظتها مختلف Gd-DTPA و غلظت یکسان کلراید سدیم (۵ مolar) نیز طبق شرایط بالا استفاده گردید.

(ج) غلظتها متفاوتی از کلراید سدیم ($1/3$ ، $1/5$ ، $1/10$ ، $1/20$ ، $1/40$ ، $1/50$ ، $1/100$ مolar) همراه با غلظت ۴ میلی مolar از Gd-DTPA تهیه شد و در لوله های مخصوص NMR جهت انجام آزمایشات به کار برده شد.

(د) غلظتها مختلفی از Gd-DTPA (۰ تا ۶ میلی مolar) در نمونه های خونی تهیه گردید و آزمایشات MRI نیز طبق شرایط مشابه با شرایط فوق انجام پذیرفت.

(ح) محلولهای با غلظتها متفاوتی از Gd-DTPA تهیه شد و به سلولهای سرطان پوست (MM-138, St.Geroge Hospital, Sydney) اضافه گردید و تحت شرایط 37°C انکوباتور شد. سپس تحت سانتیفیوز با ۱۵۰ دور در دقیقه (rpm) قرار گرفت و محلول (FBS) به آنها اضافه گردید. سپس به مدت ۱۲ ساعت در یخچال نگهداری شد و بعد از جدا کردن محلولهای فوق، سلولهای سرطانی را در لوله های آزمایش مخصوص NMR قرار داده و تصاویر حاصل از آنها مورد مطالعه قرار گرفته است.

کلیه تصاویر حاصله با پارامترهای زیر به دست آمد. سری توالی پالس ها از نوع بهبودی معکوس (Inversion recovery) انتخاب گردید و پارامترهای مختلف به این شرح می باشد: $T_1 = 1000\text{ ms}$

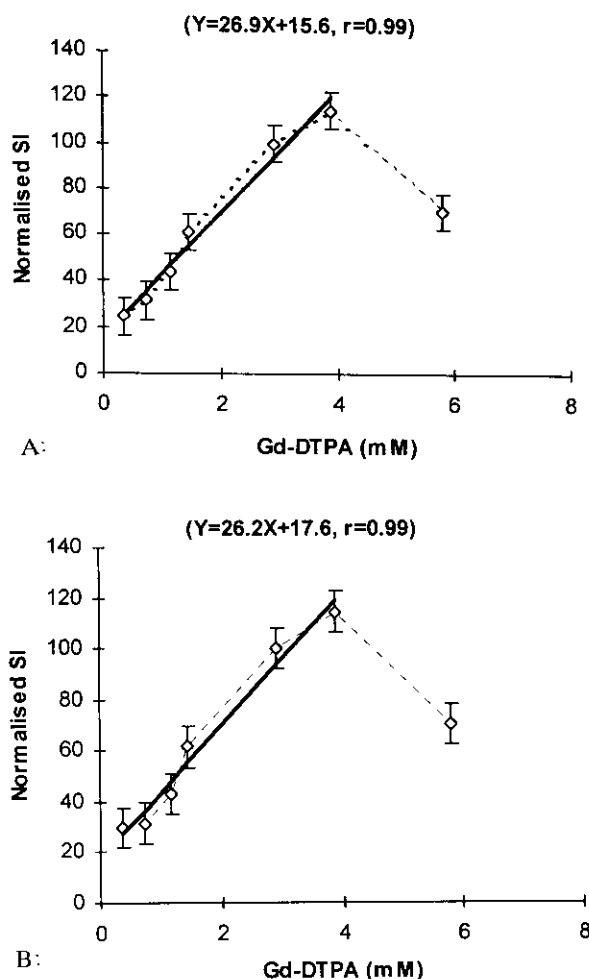
مغناطیسی مورد استفاده نیز می باشد و دلیل این امر وابستگی زمانهای آسایش به میدان مغناطیسی است. پژوهشگران تحقیقات زیادی در مورد تأثیر میدان مغناطیسی بر روی زمانهای آسایش و شدت سیگنال انجام داده اند و همگی معتقدند که افزایش شدت میدان مغناطیسی باعث افزایش زمان آسایش T_1 و کاهش زمان آسایش T_2 می شود (۲۵، ۱۷، ۱۶، ۴). کاهش زمان آسایش T_2 در اثر افزایش شدت میدان مغناطیسی ناشی از ترکیب اثرات حساسیت (susceptibility) در میدانهای قوی و همچنین نشر کردن اسپین ها (diffusing) می باشد (۱۷).

برای بررسی اینکه آیا شدت سیگنال در نمونه های خونی همانند شدت سیگنال در بافت های نرم می باشد، غلظتها مختلفی از Gd-DTPA به سلولهای سرطان پوست (Melanoma) اضافه شد و پس از انکوباتور مورد بررسی قرار گرفت و نتایج حاصل از آن با نتایج حاصله از میدانهای مغناطیسی ۱/۹ Tesla در سلولهای سرطانی مقایسه شد (۲).

یکی از مهم ترین اهداف این مطالعه بررسی و تعیین پارامترهای مؤثر در تصاویر و همچنین بهینه سازی غلظتها مختلفی از Gd-DTPA مورد استفاده جهت افزایش شدت سیگنال تحت شرایط *in vitro* در میدانهای مغناطیسی قوی می باشد. برای این منظور آزمایشات بر روی محلولهای با غلظتها مختلف Gd-DTPA، محلولهای کلراید سدیم، سلولهای خونی و سلولهای سرطان پوست انجام پذیرفت.

مواد و روشها:

دستگاه تصویر گیری رزنانس مغناطیسی از نوع Varian Unity Plus (ساخت شرکت Varian, کالیفرنیا) با میدان مغناطیسی به قدرت 300 MHz یا ۷ Tesla با استفاده از کویل های گیرنده و فرستنده از نوع زین اسپین (Saddle coil) و با قطر مرکزی 89 mm جهت این



نمودار شماره ۱: منحنی شدت سیگنال بر حسب غلظت‌های مختلف Gd-DTPA. افزایش سیگنال در غلظت‌های کم Gd-DTPA مربوط به اثر کاهش زمان آسایش T_1 و کاهش سیگنال در غلظت‌های بالاتر از ۴ میلی مولار به اثر کاهش زمان آسایش T_2 می‌باشد.

(A) برای هر غلظت معین جداگانه، (B) برای غلظت‌های مختلف در یک فانتوم.

میلی مولار با افزایش غلظت، شدت سیگنال کاهش یافته است. در مرحله‌ای که تمامی محلولهای با غلظت مختلف Gd-DTPA در یک فانتوم قرار داده شد، شدت سیگنال نیز مثل مرحله قبل بین ۰/۰ تا ۴ میلی مولار ارتباط خطی داشت ($Y=26.2X+17.6, r=0.99$) و بالاتر از غلظت‌های ۴ میلی مولار نیز شدت سیگنال همراه با کاهش بود. نمودار شماره ۱ به خوبی این ارتباط را برای هر دو مرحله نشان می‌دهد و چنانچه در این نمودار مشاهده می‌شود، منحنی کالیبراسیون برای هر دو حالت تقریباً مشابه می‌باشد.

$(T_e)=30\text{ ms}$ repetition time
 $(NEX)=8$ echo time
 (تعداد تهیجهها)
 (matrix size)= 512×128
 (field of view)= $25\times 25\text{ mm}$
 پالس از نوع پیوسته (سینوسی) با زاویه تهییج ۱۸۰ درجه و تفکیک پذیری تصاویر $1\times 2/1\times 2\text{ mm}$ بود.

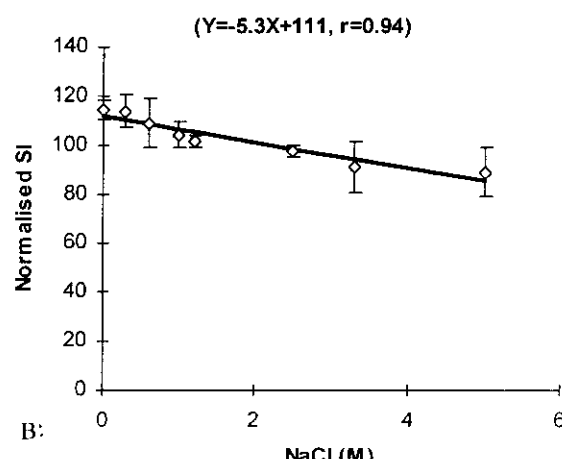
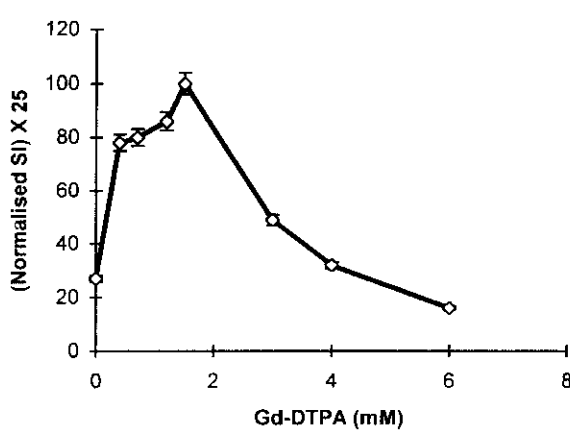
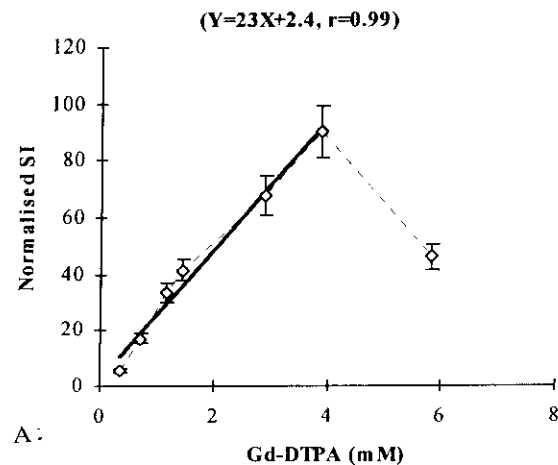
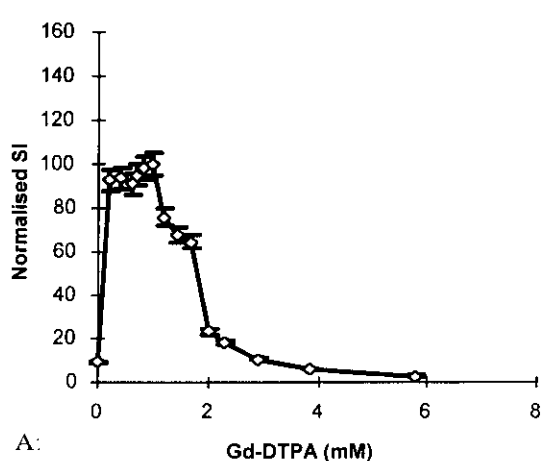
اندازه‌گیری شدت سیگنال‌های تصویر به وسیله انتخاب عناصر (Voxel) متفاوت حاصل گردید. روشنایی شدت عناصر تصویر (Pixel) وابسته به انتخاب عناصر بوده و بدین جهت برای هر عنصر پنج اندازه‌گیری انجام گرفت و میانگین آنها به عنوان شدت سیگنال محاسبه شده است. تمامی شدت سیگنال‌ها برای محلول استاندارد Gd-DTPA با غلظت ۳ میلی مولار نرمالیزه شده است.

برای بررسی شدت سیگنال در محلولهای Gd-DTPA، آزمایشات در دو مرحله صورت گرفت ابتدا هر محلول به طور جداگانه در لوله NMR قرار داده شد و نهایتاً تصاویر حاصل گردید. سپس تمامی محلولهای با غلظت‌های مختلف Gd-DTPA به صورت گروهی در یک لوله ۳۵ میلی متری قرار گرفت و تصویر به صورت یک فاتوم حاصل گردید که نهایتاً این تصاویر برای اندازه‌گیری شدت سیگنال‌ها در هر دو مرحله استفاده شده است.

نتایج:

الف) شدت سیگنال در غلظت‌های مختلف محلولهای Gd-DTPA

برای هر محلول با غلظت معین شدت سیگنال حاصل از تصویر اندازه‌گیری شده است که در این مرحله ارتباط خطی قابل قبولی بین شدت سیگنال و غلظت‌های ۰/۰ تا ۴ میلی مولار مشاهده شد ($Y=26.9X+15.6, r=0.96$). برای غلظت‌های بیشتر از ۴



نمودار شماره ۳: (A) اثر غلظتهاي مختلف Gd-DTPA در نمونههاي خونی بر شدت سیگنال. (B) ارتباط شدت سیگنال و غلظتهاي مختلف Gd-DTPA در سلولهاي سرطان بوسٽ.

عمدهای در نمودار منحنی کالیبراسیون در هر دو مرحله دیده نمی شود.

ج) شدت سیگنال و غلظت Gd-DTPA در حضور غلظتهاي مختلف کلراید سدیم:

تغییرات شدت سیگنال برای یک فاتوم حاوی محلولهای ۴ میلی مولار Gd-DTPA و غلظتهاي مختلف کلراید سدیم بررسی شد (نمودار شماره B-2). چنانچه از این نمودار مشاهده می شود، شدت سیگنال با افزایش غلظت کلراید سدیم کمی کاهش می يابد. باید اشاره کرد

ب) شدت سیگنال و غلظتهاي مختلف Gd-DTPA در حضور کلراید سدیم:

در این مرحله از آزمایشات، اثر کلراید سدیم بر روی شدت سیگنال فاتوم که محتوى غلظتهاي مختلف Gd-DTPA و غلظت یکسان کلراید سدیم است، بررسی شد. چنانچه در نمودار شماره ۲-A مشاهده می شود، ارتباط بین شدت سیگنال غلظتهاي مختلف Gd-DTPA همانند مرحله قبل بین $\frac{1}{4}$ تا ۴ میلی مولار خطی بوده و برای غلظتهاي بيشتر از ۴ میلی مولار با افزایش غلظت Gd-DTPA، شدت سیگنال کاهش می يابد و تغییرات

بحث:

Gd-DTPA به عنوان یکی از عوامل اصلی کنتراست برای MRI در کارهای تشخیصی می‌باشد (۱۲). کاربرد Gd-DTPA در بعضی از ارگانها و بافت‌های سرطانی و تحت میدانهای مغناطیسی پایین بررسی شده است (۱۱، ۱۹، ۲۰). به هر حال اثر Gd-DTPA به عنوان عامل افزایش کنتراست بر اساس پالس به کار برده شده (۱۰)، قدرت میدان مغناطیسی (۲۳) و غلظتهاي Gd-DTPA (۲۲) متفاوت خواهد بود.

در "سی تی اسکن" و "ستئی گرافی" غلظت عوامل کنتراست و یا مواد رادیو ایزوتوب به صورت خطی تابع عدد "سی تی" و یا رادیو اکتیو می‌باشد، در حالی که در MRI غلظت عوامل کنتراست (مثل Gd-DTPA) به صورت خطی تابع شدت روشناختی تصویر نیست (۲۲). نتیجه این اثر آن است که مقادیر T_1 و T_2 به عنوان دو عامل تعیین کننده کنتراست تصویر، توسط افزایش غلظت Gd-DTPA کاهش می‌یابد. عامل کنتراست تصویر در MRI باید باعث کاهش مقدار T_1 بشود و نتواند اثر چندانی روی مقدار T_2 داشته باشد. برای همین منظور است که Gd-DTPA به عنوان عامل کنتراست تصویر برای تصاویر حاصله از MRI با تکیه بر T_1 می‌باشد (۵).

تعداد محدودی گزارش در باره Gd-DTPA تحت میدانهای مغناطیسی با قدرت پایین در حیوانات وجود دارد (۱۴، ۲۲). Brasch و همکارانش (۷) با استفاده از میدان مغناطیسی $35/0$ میلی مولار Gd-DTPA باعث افزایش غلظتهاي $5/0$ تا 5 میلی مولار Gd-DTPA شدت سیگنال می‌شود. در بررسی دیگری Takeda و همکاران (۲۲) با استفاده از میدان مغناطیسی $1/5$ تsla گزارش کردند که غلظتهاي $5/0$ تا 5 میلی مولار Gd-DTPA باعث افزایش شدت سیگنال می‌شود. در بررسی دیگری Takeda و همکاران (۲۲) با استفاده از میدان مغناطیسی $1/5$ تsla گزارش کردند که شدت سیگنال بین غلظتهاي $0/0$ تا 3 میلی مولار Gd-DTPA افزایش یافته و در غلظتهاي بیشتر از 3 میلی مولار همراه با کاهش می‌باشد.

با توجه به وابسته بودن فرکانس به زمان آسایش T_1 ,

که در غلظتهاي کلراید سدیم (ایزوتونیک) تغیيرات چندانی بین شدت سیگنال و غلظتهاي Gd-DTPA دیده نشد.

د) شدت سیگنال در نمونه‌های خون با غلظتهاي متفاوت Gd-DTPA:

بررسی شدت سیگنال در نمونه‌های خونی در نمودار شماره ۳-A نشان داده شده است. چنانکه مشاهده می‌شود، شدت سیگنال به طور سریع تا غلظتهاي حدود 1 میلی مولار افزایش می‌یابد و پس از آن سیر نزولی را طی می‌کند. جهت تأیید اندازه‌گیری‌های شدت سیگنال در این مرحله زمان آسایش T_1 در نمونه‌های خونی در حضور 1 میلی مولار از Gd-DTPA بدون اندازه‌گرفته شد که به ترتیب مقادیر 50 ms و 530 ms حاصل گردید.

(ج) شدت سیگنال بر حسب غلظتهاي مختلف Gd-DTPA در سلولهای سرطان پوست (Melanoma): در این مرحله از آزمایشات، جهت جلوگیری از تغیيرات ناگهانی دستگاه (سیستم) یک فانتوم آب به عنوان مرجع استفاده شد. نمودار شماره ۳-B منحنی تغیيرات شدت سیگنال بر حسب غلظتهاي مختلف Gd-DTPA را نشان می‌دهد. چنانچه ملاحظه می‌شود، شدت سیگنال حدود 25% کمتر از شدت سیگنال در محلولهای Gd-DTPA می‌باشد. تغیيرات شدت سیگنال بر حسب غلظتهاي مختلف Gd-DTPA به صورت غیر خطی است و تا غلظتهاي حدود $1/5$ میلی مولار صعودی بوده و بالاتر از آن به صورت نزولی می‌باشد. در این مرحله برای تأیید اندازه‌گیری‌های شدت سیگنال، زمان آسایش T_1 در سلولهای سرطانی و با غلظت $0/5$ میلی مولار Gd-DTPA، 1100 ms و بدون غلظت Gd-DTPA حدود 1800 ms اندازه‌گیری شد.

ارتباط با دیگر مواد پارامغناطیسی مثل یونهای آهن Al^{3+} رادیکالهای آزاد و نیترواکسایدها در خون وجود دارد (۲۷،۶). افزایش شدت سیگنال در نمونه‌های خونی در این مطالعه تقریباً کمی بیشتر از مقادیر گزارش شده توسط Siauve و همکارانش می‌باشد (۲۱). آنها افزایش شدت سیگنال در کربوکسی متیل دکستوران-Gd-DTPA در سلولهای خونی را بررسی کرده و نشان داده‌اند که تا غلظت $5/\mu\text{M}$ میلی مولار رو به افزایش است. ارتباط بین شدت سیگنال و غلظتهای Gd-DTPA در نمونه‌های بیولوژیکی این مطالعه همخوانی مشابهی را با نتایج گزارش شده توسط Weinmann و همکارانش دارد (۲۶).

تصاویر رزنانس مغناطیسی توانایی بالایی را در تشخیص سرطان پوست دارد (۱۸،۲). شدت سیگنال ناشی از سلولهای سرطان پوست در تصاویر MRI نسبت به دیگر نسوج بد نتفاوت بوده و دلیل آن کوتاه بودن زمانهای آسایش آن می‌باشد (۸). ملانین داخل سلولی که به وفور در سلولهای سرطان پوست وجود دارد (۱۳،۱) و همچنین کاتیونهای پارامغناطیس متصل به ملانین (۹) به عنوان اصلی ترین عوامل این کاهش می‌باشند.Atlas و همکارانش (۲) گزارش کرده‌اند که کاهش زمان آسایش T_1 در این سلولها ناشی از افزایش محتویات ملانین آنها می‌باشد. واکنش متقابل دو قطبی ناشی از حضور بعضی از موارد پارامغناطیس مثل Mn^{2+} , Cu^{2+} , Fe^{2+} بشود. به طور عملی در میدانهای مغناطیسی که در کارهای تشخیصی استفاده می‌شود، اثر Fe^{2+} متصل به ملانین، سه برابر بیشتر از اثر دیگر مواد فلزی است (۹). بدین علت است که این افزایش شدت سیگنال بر حسب Gd-DTPA در ملانین کمتر از شدت سیگنال نسبت به محلولهای Gd-DTPA می‌باشد. نمودار شماره ۳-ب به خوبی عدم ارتباط خطی بین شدت سیگنال و غلظتهای مختلف Gd-DTPA در سلولهای سرطان را نشان

بهینه سازی پالس‌ها با تغییر میدان مغناطیسی، تغییر خواهد کرد (۱۴،۴). ارتباط بین شدت سیگنال و غلظتهای مختلف تحت میدانهای مغناطیسی قوی هنوز بررسی نشده است، بدین ترتیب این مطالعه اولین گزارش در این مورد تحت میدان مغناطیسی قوی با شدت ۷ تسلا می‌باشد.

چنانچه ملاحظه می‌شود، ارتباط بین شدت سیگنال و غلظتهای مختلف Gd-DTPA بین $4/\mu\text{M}$ تا 4 میلی مولار به صورت خطی می‌باشد و بیانگر یک افزایش معنادار در ارتباط با غلظتهای مختلف Gd-DTPA و نیز کلراید سدیم در این محدوده می‌باشد به طوری که مقادیر حاصله در این مطالعه جزئیات بهتری را نسبت به گزارشات قبلی در ارتباط شدت سیگنال و غلظتهای مختلف Gd-DTPA در بر دارد.

زمانهای آسایش به طور غیر مستقیم (Interaction) واکنش متقابل بین مولکولهای آب و دیگر محتویات سلولی را نشان می‌دهد (۱۵). مولکول آب در محیط‌های بیولوژیکی به دو نوع "آب آزاد" و "آب درگیر" تقسیم‌بندی می‌شود (۲۵). آب آزاد در نسوج بیشتر بوده و مثل آب معمولی برای NMR می‌باشد. منظور از آب درگیر همان آبی است که بیشتر به سطوح غشاء سلولی، پروتئینها و سایر عوامل سلولی مربوط می‌شود و درجه حرکت آزاد کمتری را نسبت به آب آزاد دارا می‌باشد. این عدم آزادی حرکت مولکولهای آب درگیر باعث زمان آسایش T_1 کمتر (حدود 10 میلی ثانیه) نسبت به زمان آسایش آب آزاد (حدود 2000 میلی ثانیه) می‌شود. مقدار زمان آسایش T_1 آب آزاد در این مطالعه حدود 1000 میلی ثانیه اندازه‌گیری شده است.

چنانچه اشاره شد، سلولهای خونی زمان آسایش کمتری را نسبت به آب آزاد دارند و بدین منظور است که ارتباط بین شدت سیگنال و غلظتهای Gd-DTPA به صورت غیر خطی می‌باشد و افزایش سریعی تا غلظت حدود 1 میلی مولار را نشان می‌دهد. گزارش مشابهی در

زمانهای آسایش در محلولهای یونی پارامغناطیس مورد انتظار می‌باشد (۲۵). این ارتباط در محلولهای حاوی Gd-DTPA گزارش شده است. اطلاعات تجربی نشان داده است که در بافت‌های نرم و نمونه‌های خونی غلظتهاي Gd-DTPA متناسب با آهنگ زمانهای آسایش T₁ و T₂ است (۲۳، ۲۲).

بررسیهای زیادی نیز نشانگر تأثیر قدرت میدان مغناطیسی بر روی زمانهای آسایش T₁ و T₂ می‌باشد و این گزارشات نشان می‌دهد با افزایش قدرت میدان مغناطیسی دستگاه، زمان آسایش T₁ افزایش و زمان آسایش T₂ کاهش می‌یابد (۲۵، ۴). علت کاهش در زمان آسایش T₂ ناشی از اثر حساسیت (susceptibility) و در میدانهای قوی ناشی از اثر نشر اسپین‌ها (diffusing) می‌باشد (۱۷). تغییرات در نشر اسپین‌ها در میدان مغناطیسی باعث ایجاد یک میدان مغناطیسی غیر همگون می‌شود و نهایتاً کاهش شدت سیگنال را به همراه دارد. حساسیت در غلظتهاي زیاد باعث کاهش زمان آسایش T₂ و نهایتاً کاهش شدت سیگنال می‌شود. اطلاعات حاصل از این تحقیق نشان می‌دهد که شدت سیگنال در غلظتهاي مختلف Gd-DTPA در محلولهای نمونه‌های خونی و سلولهای سرطان پوست متفاوت است و این نتایج مشابه با نتایج حاصل از مطالعه Tofts و همکارانش (۲۴) در فاتومهای مشابه با بافت‌های بدن می‌باشد.

نتایج حاصل را می‌توان به صورت زیر خلاصه نمود:

- ۱- شدت سیگنال و استگی مستقیم و به صورت خطی با غلظتهاي Gd-DTPA بین ۴-۰ میلی مولار در محلولهای آبکی دارد.

- ۲- شدت سیگنال استگی مستقیم به غلظتهاي Gd-DTPA در غلظتهاي بین ۶-۰ میلی مولار در نمونه‌های خونی به صورت خطی ندارد.

- ۳- در سلولهای سرطان پوست نیز ارتباط خطی بین شدت سیگنال غلظتهاي مختلف مشاهده نشد.

می‌دهد.

همچنین جهت تأیید ثوری افزایش زمان آسایش T₁ با افزایش شدت میدان مغناطیسی، زمان آسایش T₁ سلولهای سرطان پوست در این پژوهش ۱۵۰۰ ms اندازه گیری شد که همخوانی قابل قبولی با زمانهای آسایش گزارش شده توسط دیگر محققان در میدانهای مغناطیسی کوچک را نشان می‌دهد (۲۵، ۸، ۲).

متحنی‌های کالیبراسیون دستگاه برای تنظیم شدت سیگنال تصاویر MRI می‌توانند تصاویر با کیفیت بهتر را به دنبال داشته باشد. در این مطالعه اندازه گیری شدت سیگنال تصاویر حاصله بر حسب Gd-DTPA، توانائی عامل کنترast را در تصاویر به خوبی نشان می‌دهد. اگر چه در این مرحله قضایت در باره نقش آن تحت شرایط *in vivo* به خوبی مشخص نمی‌باشد، اما به خوبی می‌توان اذعان داشت که افزایش شدت سیگنال مستقیماً مربوط به کاهش زمان آسایش T₁ می‌باشد. اندازه گیری‌های زمان آسایش T₁ در سلولهای خونی بدون استفاده از ۵۳۰ ms، Gd-DTPA و با استفاده از غلظت ۱ میلی مولار Gd-DTPA ۵۰ ms بیانگر این حقیقت می‌باشد.

به طور کلی عوامل کنترast تأثیر بسزایی را در کاهش زمانهای آسایش و یا به بیانی دیگر در افزایش آهنگ زمانهای آسایش دارا می‌باشد. علت استفاده از محلولهای آبکی، نمونه‌های خونی و سلولهای سرطان پوست این مطالعه به خاطر تفاوت خواص آنها در ارتباط با نقش عوامل کنترast در متحنی‌های کالیبراسیون می‌باشد. ارتباط خطی بین شدت سیگنال و غلظتهاي Gd-DTPA در محلولهای آبکی و عدم ارتباط خطی در سلولهای خونی و سرطان پوست به خوبی این واقعیت را نشان می‌دهد.

نتیجه گیری:

ارتباط خطی بین غلظتهاي یونهای پارامغناطیس و

تشکر و قدردانی:

نگارنده از زحمات جناب پروفسور Prof Barry Allen در ارتباط با همکاری بی شایبه‌ای که در کلیه امور این مقاله داشته است تشکر و قدردانی می‌نماید.

۴- اگر بتوان غلظت Gd-DTPA جذب شده در بافت‌های بدن را اندازه‌گیری کرد، در نتیجه می‌توان با به کار بردن غلظت‌های مناسب Gd-DTPA تصاویر با بهترین کیفیت را به دست آورد.

References:

- 1- Raymond A. Review of magnetic resonance imaging. In: Grant DM.; Harris RK. Encyclopedia of nuclear magnetic resonance. 1st ed. chap 1: From John Wiley & Sons Ltd. New York: USA, 2462-71, 1996.
- 2- Weinmann HJ.; Brasch RC.; Wesbey GE. Characteristics of Gd-DTPA complex: a potential NMR contrast agent. Am J Roentgenol, 142: 619-24, 1984.
- 3- Takeda M.; Katayama Y.; Tsutsui T.; Komeyama T.; et al. Gd-DTPA enhanced MRI of kidney. Magn Reson Imag, 12(3): 421-7, 1994.
- 4- Bottomley PA.; Foster TH.; Argersinger RE.; Pfeifer LM. A review of normal tissue hydrogen NMR relaxation times and relaxation mechanisms from 1-100 MHz: dependence on tissue type, NMR frequency, temperature, species, excisions and age. Med Phys, 11: 425-48, 1984.
- 5- Lanens D.; Van Der Linden A.; Gerrits PO.; Gravenmade EJ. *In vitro* NMR micro imaging of the spinal cord of chronic relapsing EAE rats. Magn Reson Imag, 12(3): 469-75, 1994.
- 6- Derek SH. The fundamental principles of MRI. In: Wehrli FW.; Shaw D.; Kneeland JB. Biomedical magnetic resonance imaging: principles, methodology and applications: From VCH Publishers Inc. New York: USA, 1-47, 1988.
- 7- Koenig SH.; Brown RD. Relaxation of solvent protons by paramagnetic ions and its dependence on magnetic field and chemical environment: implications for NMR imaging. Magn Reson Med, 1: 478-90, 1984.
- 8- Atlas SW.; Bräffman BH.; Lobrutto R.; Elder DE.; et al. Human malignant melanomas with varying degrees of melanin content in nude mice: MR imaging, histopathology and electron paramagnetic resonance. J Comput Assist Tomogr, 14: 547-54, 1990.
- 9- Glover GH.; Hayes CE.; Pelc NJ. Comparison of linear and circular polarization for magnetic resonance imaging. J Magn Reson, 64: 255-70, 1985.
- 10- Ohtomo K.; Itai Y.; Yoshikawa K. Hepatic tumors: dynamic MR imaging. Radiology, 163: 27-31, 1987.
- 11- Mirowitz SA.; Brown JJ.; Joseph KT.; Heiken JP. Dynamic gadolinium-enhanced MR imaging of the spleen: normal enhancement patterns and evaluation of splenic lesions. Radiology, 179: 681-6, 1991.
- 12- Gadian DG.; Payne JA.; Bryant DJ. Gadolinium-DTPA as a contrast agent in MR imaging-theoretical projections and practical observations. J Comput Assist Tomogr, 9: 242-51, 1985.
- 13- Takeda M.; Katayama Y.; Tsutsui T.; Komeyama T.; et al. Concentration of Gd-DTPA in human kidney-study on proper time for dynamic MR imaging of the human kidney on low and high magnetic fields. Tohoku J of Experimental Medicine, 179(2): 119-28, 1993.
- 14- Brady TJ. Contrast agents in whole body magnetic resonance: an overview. In: Grant DM.; Harris RK (eds.). Encyclopedia of nuclear magnetic resonance: From John & Wiley Sons Ltd. New York: USA, 1432-7, 1996.

- 15- Johnson GA.; Herfkens RG.; Brown MA. Tissue relaxation time: *in vivo* field dependence. Radiology, 156: 805-10, 1985.
- 16- Brasch RC.; Weinmann HJ.; Wesbey GE. Contrast enhancement NMR imaging: animal studies using Gd-DTPA complex. Am J Roentgenol, 142: 625-30, 1984.
- 17- Koenig SH.; Baglin C.; Brown RD. Magnetic field dependence of solvent proton relaxation induced by Gd^{3+} and Mn^{2+} complexes. Magn Reson Med, 1: 496-501, 1984.
- 18- Brasch RC. Methods of contrast enhancement for NMR imaging and potential applications. Radiology, 147: 781-8, 1983.
- 19- Wesbey GE.; Brasch RC.; Engeklstad BL.; Moss AA.; et al. Nuclear magnetic resonance contrast enhancement study of the gastrointestinal tract of rats and a human volunteer using nontoxic oral ion solution. Radiology, 147: 175-80, 1993.
- 20- Siauve N.; Clement CA.; Benderbous S.; Frija G. Capillary leakage of a macromolecular MRI agent, carboxymethyldextran-Gd-DTPA, in the liver: pharmacokinetics and imaging implications. Magn Reson Imag, 14(4): 381-90, 1996.
- 21- Mafee MF.; Payman GA.; Grisolano JE.; Fletcher ME.; et al. Malignant uveal melanoma and simulating lesions: MR imaging evaluation. Radiology, 160: 773-80, 1986.
- 22- Damadian R.; Zanner K.; Hor D. Human tumors by NMR. Physiol Chem Phys, 12: 381-402. 1973.
- 23- Gomori JM.; Grossman RI.; Shields JA.; Augsburger JJ.; et al. Choroidal melanomas: correlation of NMR spectroscopy and MR imaging. Radiology, 158: 443-5, 1986.
- 24- Atlas SW.; Grossman RI.; Gomori JM.; Dupont G.; et al. MR imaging of intracranial metastatic melanoma. J Comput Assist Tomogr, 11: 577-82, 1987.
- 25- Enochs WS.; Hyslop WP.; Bennett HF.; Brown RD.; et al. Sources of the increased longitudinal relaxation rates observed in melanotic melanoma: an *in vitro* study of synthetic melanins. Invest Radiol, 24: 794-804, 1989.
- 26- Bloembergen N.; Purcell EM.; Pound RV. Relaxation effects in nuclear magnetic resonance absorption. Phys Rev, 73: 679-712, 1948.
- 27- Tofts PS.; Shuter B.; Pope JM. Ni-DTPA doped agarose gel a phantom material for Gd-DTPA enhancement measurements. Magn Reson Imag, 11: 125-33, 1993.